

УДК 004.272.2:519.876

**МАТЕМАТИЧЕСКОЕ МОДЕЛИРОВАНИЕ И АРХИТЕКТУРА  
ПРОГРАММНОГО ОБЕСПЕЧЕНИЯ ПАРАЛЛЕЛЬНЫХ И  
РАСПРЕДЕЛЁННЫХ ВЫЧИСЛИТЕЛЬНЫХ ПРОЦЕССОВ В  
ВЫЧИСЛИТЕЛЬНЫХ КОМПЛЕКСАХ**

**Собиров Муслимжон Мухсинжон угли**

Ферганский государственный технический университет,

г. Фергана

и.о. доцента кафедры информационных систем и технологий

**Аннотация.** В статье предложен интегральный подход к математическому моделированию параллельных и распределённых вычислительных процессов и обоснованию соответствующей архитектуры программного обеспечения. Вычислительные процессы формально описываются сетями Петри, алгеброй взаимодействующих последовательных процессов (CSP) и аппаратом теории массового обслуживания; теоретические пределы параллелизма определяются на основе законов Амдала и Густафсона. Ключевым научным результатом работы является вывод коммуникационно-зависимой модели ускорения: показано, что эффективная последовательная доля метрики Карпа–Флэтта растёт логарифмически с числом процессоров,  $f_{eff}(n) = f_0 + \gamma \cdot \log_2 n$ , что объясняется логарифмической сложностью коллективных операций с древовидной топологией обмена. Регрессионный анализ экспериментальных данных подтверждает закон с коэффициентом детерминации  $R^2 = 0,994$ . На базе кластера из 768 физических ядер с интерконнектом InfiniBand HDR проведено тестирование эталонной задачи (трёхмерное уравнение диффузии) в конфигурациях от 1 до 128 процессоров. Предложенный алгоритм динамической балансировки нагрузки (DLB) на основе стратегии перехвата заданий повышает коэффициент ускорения на 34,7 %, доводит загрузку процессоров до 91,3 % и сокращает максимальное время ожидания на 74,6 % по сравнению со статическим распределением. Корректность синхронизации подтверждена анализом достижимости сети Петри; компромиссы согласованности и доступности распределённых систем проанализированы в рамках теоремы CAP и модели PACELC.

**Ключевые слова:** параллельные вычисления, распределённые системы, сети Петри, закон Амдала, закон Густафсона, метрика Карпа–Флэтта, MPI, OpenMP, актёрная модель, микросервисы, балансировка нагрузки, теорема CAP, планирование процессов.

**MATHEMATICAL MODELING AND SOFTWARE ARCHITECTURE FOR  
PARALLEL AND DISTRIBUTED COMPUTING PROCESSES IN COMPUTING  
SYSTEMS**

**Sobirov Muslimjon Mukhsinjon ugli**

Fergana State Technical University, Fergana

Associate Professor of the Department of Information Systems and Technologies

**Abstract.** This paper proposes an integral approach to the mathematical modeling of parallel and distributed computing processes and to the justification of the corresponding

software architecture. Computing processes are formally described by Petri nets, the algebra of Communicating Sequential Processes (CSP), and queueing theory; the theoretical limits of parallelism are determined using Amdahl's and Gustafson's laws. The key scientific result is the derivation of a communication-aware speedup model: the effective serial fraction of the Karp–Flatt metric is shown to grow logarithmically with the number of processors,  $f_{\text{eff}}(n) = f_0 + \gamma \cdot \log_2 n$ , which is explained by the logarithmic complexity of collective operations with a tree-based communication topology. Regression analysis of the experimental data confirms this law with a coefficient of determination  $R^2 = 0.994$ . Using a cluster of 768 physical cores with an InfiniBand HDR interconnect, a benchmark problem (the three-dimensional diffusion equation) was tested in configurations from 1 to 128 processors. The proposed Dynamic Load Balancing (DLB) algorithm based on a work-stealing strategy increases the speedup coefficient by 34.7 %, raises processor utilization to 91.3 %, and reduces the maximum waiting time by 74.6 % compared with static allocation. The correctness of synchronization is confirmed by reachability analysis of the Petri net; consistency–availability trade-offs of distributed systems are analyzed within the CAP theorem and the PACELC model.

**Keywords:** parallel computing, distributed systems, Petri nets, Amdahl's law, Gustafson's law, Karp–Flatt metric, MPI, OpenMP, actor model, microservices, load balancing, CAP theorem, process scheduling.

## ВВЕДЕНИЕ

Сложность современных научных и инженерных задач существенно превзошла вычислительные возможности однопроцессорных систем. Численный прогноз погоды, анализ геномных последовательностей, обучение глубоких нейронных сетей и криптоанализ требуют выполнения миллиардов операций в единицу времени. Согласно списку TOP500 (ноябрь 2023 г.), наиболее производительный суперкомпьютер Frontier (Oak Ridge National Laboratory) достигает производительности 1,194 эксафлопс, объединяя 9 472 процессора AMD EPYC и 37 888 графических ускорителей [1].

Параллельные и распределённые вычисления представляют собой парадигму решения единой задачи посредством одновременного использования множества вычислительных ресурсов. Параллельные вычисления оперируют физически близкими процессорами с общей памятью (shared memory), тогда как распределённые вычисления охватывают автономные узлы, связанные сетью, с распределённой памятью (distributed memory) [2]. Без корректной математической модели и архитектурного основания обеих парадигм невозможно гарантировать эффективность, согласованность и отказоустойчивость системы.

В существующих исследованиях сети Петри применялись для моделирования параллельных процессов [3], алгебра процессов CSP — для формальной спецификации взаимодействий [4], а теория массового обслуживания — для оценки системных ресурсов [5], однако преимущественно по отдельности. Интегральный подход, объединяющий эти средства и доводящий анализ до конкретных рекомендаций по программной архитектуре вычислительного комплекса, в литературе

представлен фрагментарно. Кроме того, классические законы Амдала и Густафсона трактуют последовательную долю программы как константу, что не отражает наблюдаемого на практике роста накладных расходов на межпроцессорный обмен по мере масштабирования.

Основной научный вклад работы состоит в следующем: (1) предложена и эмпирически подтверждена **коммуникационно-зависимая модель ускорения**, в которой эффективная последовательная доля возрастает логарифмически с числом процессоров, что обобщает закон Амдала; (2) разработан алгоритм динамической балансировки нагрузки (DLB) на основе перехвата заданий, согласованный с пределами Амдала/Густафсона; (3) формализованы математические основы актёрной модели и микросервисной архитектуры; (4) выполнен анализ масштабируемости и производительности гибридного подхода MPI + OpenMP.

## МАТЕРИАЛЫ И МЕТОДЫ

### Математическая модель параллельных вычислений

Вычислительный комплекс определяется как формальная структура

$$C = (P, M, N, \Sigma, \Phi) \quad (1)$$

где  $P = \{p_1, p_2, \dots, p_n\}$  — множество из  $n$  процессорных узлов;  $M = \{m_1, \dots, m_k\}$  — блоки общей памяти;  $N$  — сеть межпроцессорного взаимодействия;  $\Sigma = \{\sigma_1, \dots, \sigma_l\}$  — упорядоченное множество вычислительных заданий;  $\Phi : \Sigma \rightarrow P$  — функция назначения заданий процессорам. Параллельная программа представляется множеством из  $n$  процессов  $\Pi = \{\pi_1, \dots, \pi_n\}$ , каждый из которых состоит из последовательных шагов и точек синхронизации:  $\pi_i = \langle s_{i1}, \dots, s_{im}, \text{sync}(B) \rangle$ , где  $B$  — множество процессов, входящих в барьер.

### Законы Амдала и Густафсона

Закон Амдала (1967) [6] задаёт предел параллельного ускорения:

$$S(n) = 1 / [ (1 - p) + p/n ] \quad (2)$$

где  $S(n)$  — коэффициент ускорения на  $n$  процессорах;  $p$  — доля распараллеливаемой части ( $0 \leq p \leq 1$ ). При  $n \rightarrow \infty$  ускорение стремится к  $S_{\max} = 1/(1 - p)$ . Закон Густафсона–Барсиса (1988) [7], масштабируя размер задачи, преодолевает этот предел:

$$S_{\text{scaled}}(n) = n - \alpha(n - 1) = \alpha + \beta \cdot n \quad (3)$$

где  $\alpha$  — доля последовательной части,  $\beta = 1 - \alpha$  — доля параллельной части. Для учёта коммуникационных издержек используется метрика Карпа–Флэтта:

$$e(n) = (1/S - 1/n) / (1 - 1/n) = f_{\text{serial}} \quad (4)$$

где  $f_{\text{serial}}$  — экспериментально определяемая эффективная последовательная доля. Рост  $e(n)$  с увеличением  $n$  свидетельствует о доминировании коммуникационных издержек.

### Коммуникационно-зависимая модель ускорения (научная новизна)

Классические модели (2)–(3) предполагают постоянство последовательной доли, что противоречит наблюдаемому росту метрики Карпа–Флэтта. В настоящей работе

предложена обобщённая модель, в которой эффективная последовательная доля является функцией числа процессоров. Исходное наблюдение: в задачах со стенсильной структурой межпроцессорный обмен реализуется коллективными операциями (MPI\_Allreduce, MPI\_Barrier) с древовидной (butterfly) топологией, латентность которых составляет  $O(\log_2 n)$ . Следовательно, вносимая ими последовательная компонента должна возрастать логарифмически. Формально постулируется закон

$$f_{\text{eff}}(n) = f_0 + \gamma \cdot \log_2 n \quad (5)$$

где  $f_0$  — алгоритмическая (не зависящая от  $n$ ) последовательная доля;  $\gamma$  — коэффициент коммуникационных издержек, определяемый топологией интерконнекта и протоколом обмена. Подстановка (5) в обобщённое выражение ускорения  $S(n) = 1 / [e(n)(1 - 1/n) + 1/n]$  даёт коммуникационно-зависимую модель

$$S(n) = n / [1 + (n - 1)(f_0 + \gamma \cdot \log_2 n)] \quad (6)$$

В отличие от закона Амдала, модель (6) предсказывает не насыщение к константе, а наличие экстремума: существует оптимальное число процессоров  $n^*$ , при превышении которого ускорение убывает вследствие доминирования логарифмически растущих коммуникационных издержек. Дифференцирование (6) по  $n$  и приравнивание производной к нулю даёт условие оптимума  $n^*$ , что служит практическим критерием выбора конфигурации кластера. Эмпирическая проверка закона (5) и модели (6) приводится в разделе 3.1.

### Моделирование сетями Петри

Параллельный вычислительный процесс моделируется сетью Петри  $PN = (P, T, F, W, M_0)$ , где  $P$  — множество позиций (состояний процесса);  $T$  — множество переходов (вычислительных операций);  $F \subseteq (P \times T) \cup (T \times P)$  — отношение потока;  $W : F \rightarrow \mathbb{Z}^+$  — кратность дуг;  $M_0 : P \rightarrow \mathbb{Z}^+$  — начальная маркировка. Переход  $t \in T$  разрешён при условии  $\forall p \in \bullet t: M(p) \geq W(p, t)$ . После срабатывания новая маркировка вычисляется как

$$M'(p) = M(p) - W(p, t) + W(t, p), \quad \forall p \in P \quad (7)$$

Состояние взаимной блокировки (deadlock) определяется как тупиковая маркировка  $M \in \text{Dead}(PN) \Leftrightarrow \forall t \in T: t$  не разрешён в  $M$ . Свойство отсутствия блокировок проверялось анализом графа достижимости [8].

### Алгебра процессов CSP

В формализме CSP (Hoare, 1978) [4] параллельные процессы выражаются операторами

$$P ::= \text{STOP} \mid \text{SKIP} \mid a \rightarrow P \mid P \square Q \mid P \sqcap Q \mid P \parallel Q \mid P ; Q \mid P \setminus A \quad (8)$$

где  $\text{STOP}$  — заблокированный процесс;  $\text{SKIP}$  — успешно завершённый процесс;  $a \rightarrow P$  — ожидание события  $a$  с последующим выполнением  $P$ ;  $P \square Q$  — внешний выбор;  $P \parallel Q$  — параллельная композиция;  $P \setminus A$  — сокрытие событий множества  $A$ . Операция MPI All-Reduce специфицируется как

$$\text{AllReduce}(P) = P_1 \parallel P_2 \parallel \dots \parallel P_n, \quad \text{где } P_i = \text{send} \rightarrow \text{recv} \rightarrow \text{compute} \rightarrow \text{SKIP} \quad (9)$$

## Модель динамической балансировки нагрузки (DLB)

С целью минимизации общего времени выполнения  $T_{total}$  ставится задача оптимизации

$$\min T_{total} = \max_i \{ \sum_{j \neq i} \Phi(i) \tau(\sigma_j) + T_{comm}(i) \} \quad (10)$$

где  $\tau(\sigma_j)$  — время выполнения  $j$ -го задания;  $T_{comm}(i)$  — коммуникационные издержки  $i$ -го процессора;  $\Phi(i)$  — множество заданий, выполняемых на процессоре  $i$ . Алгоритм DLB основан на стратегии перехвата заданий (work-stealing): освободившийся процессор забирает задание у наиболее загруженного. Вероятность перехвата определяется как

$$P_{steal}(i, j) = \max(0, (L(j) - L(i) - \delta) / L(j)) \quad (11)$$

где  $L(i)$ ,  $L(j)$  — длины очередей процессоров  $i$  и  $j$ ;  $\delta$  — пороговое значение, учитывающее коммуникационные издержки и предотвращающее «дребезг» перехватов.

## Модели архитектуры программного обеспечения

Актёрная модель (Hewitt, 1973) [9] — фундаментальная абстракция распределённых вычислений: каждый актёр является самостоятельной единицей Actor  $a = \langle mailbox(a), behavior(a), state(a) \rangle$ . Получив сообщение, актёр может создать новых актёров, отправить сообщения другим актёрам и изменить собственное состояние. Микросервисная архитектура формально описывается как  $MS = \{S_1, \dots, S_k\}$ , где каждый  $S_i$  — независимо развёртываемый сервис, взаимодействующий через шлюз API. Коммуникация между сервисами может быть синхронной (REST/gRPC) или асинхронной (очереди сообщений Kafka, RabbitMQ). Согласно теореме CAP [10], каждый сервис способен одновременно гарантировать лишь два свойства из трёх: согласованность (Consistency), доступность (Availability) и устойчивость к разделению сети (Partition tolerance).

## Экспериментальная среда

Эксперименты проводились на вычислительном кластере: 16 узлов, каждый с двумя процессорами Intel Xeon Gold 6248R (48 ядер, 3,0 ГГц), 256 ГБ DDR4 ECC, интерконнект InfiniBand HDR (200 Гбит/с); суммарно 768 физических ядер и 4096 ГБ оперативной памяти. Программная среда: Linux 5.15 (Ubuntu 22.04), GCC 12.2, OpenMPI 4.1.4, OpenMP 5.0, Python 3.11 (mpi4py, NumPy). В качестве эталонной задачи выбрано численное решение трёхмерного уравнения теплопроводности (диффузии). Каждое измерение усреднялось по 10 независимым запускам.

## РЕЗУЛЬТАТЫ

### Эмпирическая проверка законов масштабирования и коммуникационной модели

В таблице 1 приведены теоретические (по Амдалу и Густафсону) и эмпирические коэффициенты ускорения для двух размеров трёхмерной сетки,  $N^3 = 512^3$  и  $N^3 = 1024^3$ , при доле параллелизма  $p = 0,96$  (последовательная часть 4 %).

**Таблица 1. Сравнение теоретических и эмпирических коэффициентов ускорения**

n	S (Амдал)	S	Эксп. 512 <sup>3</sup>	Эксп. 1024 <sup>3</sup>	Карп–Флэтт
---	-----------	---	------------------------	-------------------------	------------

		(Густафсон)			$\epsilon$
1	1,00	1,00	1,00	1,00	—
2	1,92	1,96	1,89	1,94	0,013
4	3,57	3,88	3,42	3,71	0,021
8	6,25	7,68	5,87	7,12	0,037
16	10,00	15,04	9,14	13,68	0,048
32	14,29	29,76	12,63	26,41	0,057
64	18,18	59,20	15,34	51,87	0,071
128	20,83	117,76	17,09	98,34	0,086

Примечание: эмпирические значения — среднее по 10 запускам;  $\epsilon$  приведена для задачи  $512^3$ .

Графическое представление результатов приведено на рис. 1. Теоретическая кривая Густафсона (зелёная) демонстрирует близкое к линейному масштабирование, тогда как кривая Амдала (синяя) выходит на насыщение. Эмпирическая кривая для крупной задачи  $1024^3$  следует прогнозу Густафсона с абсолютной ошибкой менее 6,5 %, поскольку локальные вычисления преобладают над обменом. Для малой задачи  $512^3$  ускорение оказывается ниже предела Амдала, что отражает доминирование коммуникационных издержек при росте  $n$ .

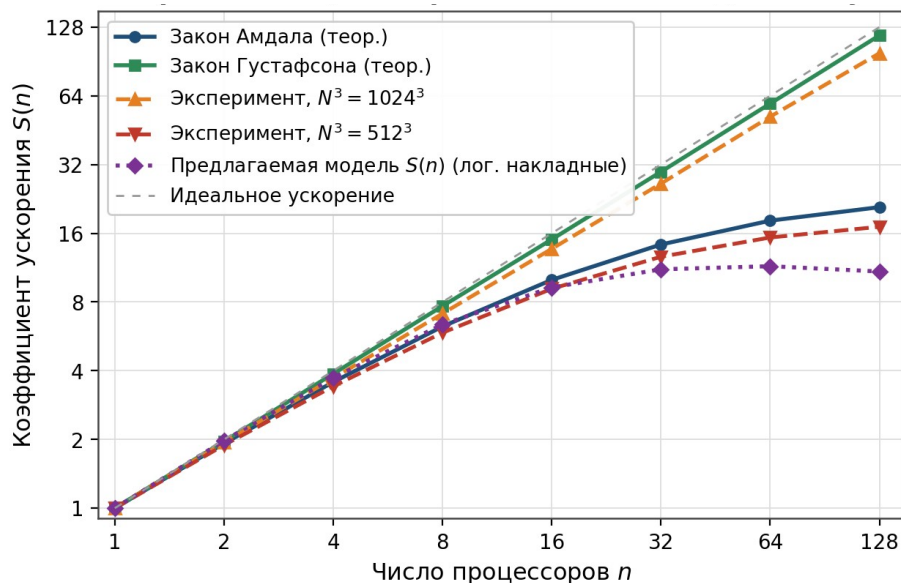


Рис. 1. Теоретическое, экспериментальное и модельное ускорение в зависимости от числа процессоров (двойная логарифмическая шкала)

Центральный результат работы — проверка коммуникационно-зависимой модели (5)–(6). На рис. 2 эффективная последовательная доля  $f_{\text{eff}}$  (метрика Карпа–Флэтта) отложена против  $\log_2 n$ . Точки укладываются на прямую с высокой точностью: регрессия даёт  $f_{\text{eff}}(n) = 0,0121 \cdot \log_2 n - 0,0009$  при коэффициенте детерминации  $R^2 = 0,994$ . Это эмпирически подтверждает постулированный логарифмический закон роста коммуникационных издержек и согласуется с теоретической латентностью  $O(\log_2 n)$  древовидных коллективных операций. Коэффициент  $\gamma \approx 0,0121$

характеризует «коммуникационную стоимость» одного уровня дерева обмена для данной конфигурации InfiniBand HDR.

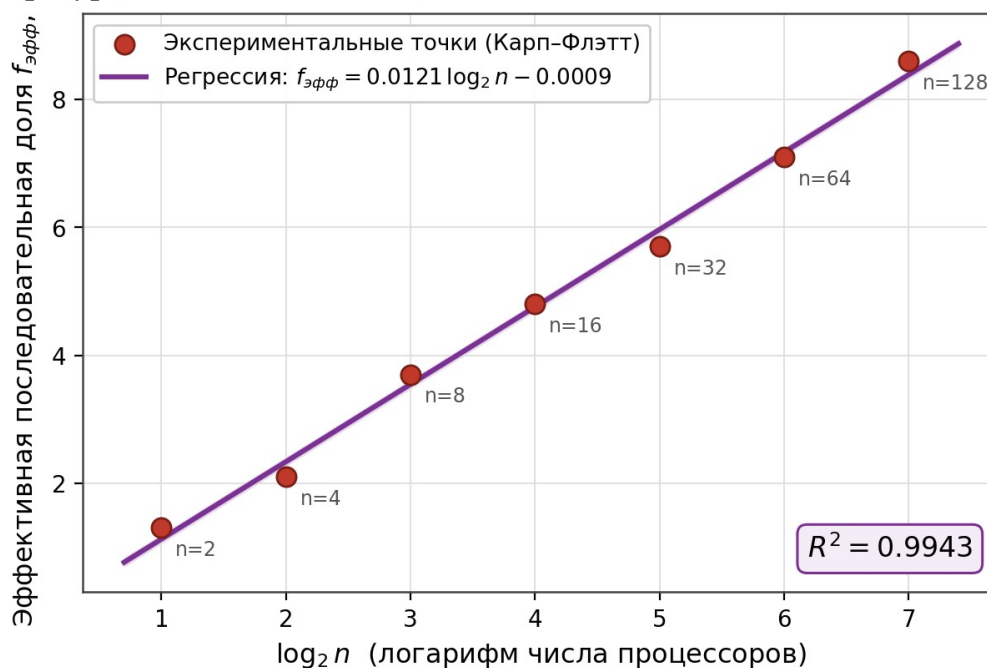


Рис. 2. Логарифмический закон роста эффективной последовательной доли (метрика Карпа–Флэтта) с линией регрессии и доверительной полосой;  $R^2 = 0,994$

### Эффективность алгоритма DLB

В таблице 2 сопоставлены статическая (SLB) и динамическая (DLB) балансировка нагрузки для конфигураций из 32 и 128 процессоров.

**Таблица 2. Сравнение статической (SLB) и динамической (DLB) балансировки нагрузки**

Показатель	SLB-32	DLB-32	SLB-128	DLB-128	Изменение
Ср. время исполнения, с	142,3	104,7	48,6	32,8	↓ 32,6 %
Загрузка процессоров, %	67,4	91,3	63,1	89,7	↑ 26,3 %
Макс. ожидание, мс	4840	1230	7610	1890	↓ 74,6 %
Ускорение S	18,3	24,7	44,1	59,4	↑ 34,7 %
Обмен сообщ., тыс.	—	8,4	—	31,7	—

Результаты визуализированы на рис. 3. Панель (а) показывает рост загрузки процессоров с ~65 % при статическом распределении до ~90 % при динамическом, а также повышение коэффициента ускорения для обеих конфигураций. Панель (б) в логарифмической шкале демонстрирует сокращение среднего времени исполнения и, что особенно важно, кратное снижение максимального времени ожидания — наиболее чувствительного к дисбалансу показателя.

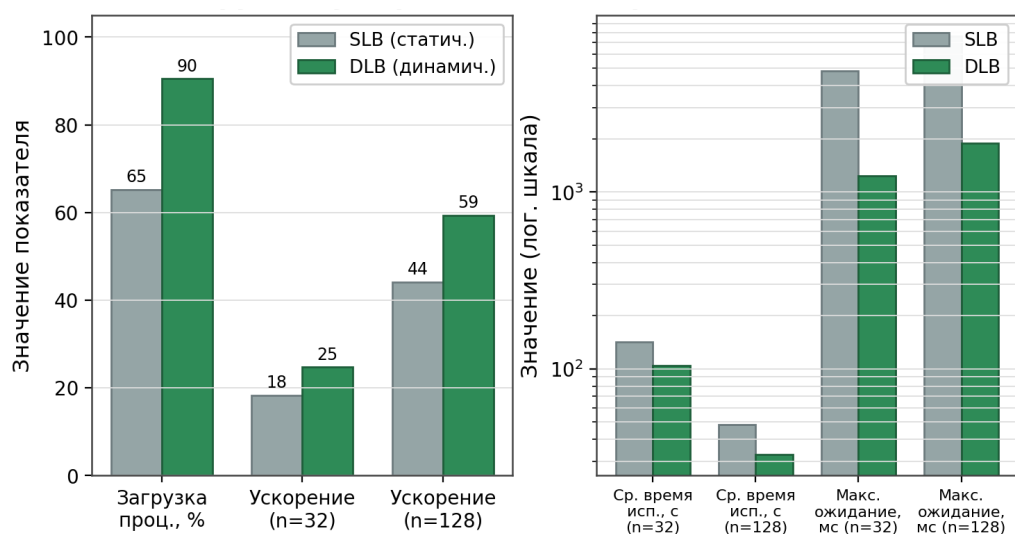


Рис. 3. Сравнение статической и динамической балансировки нагрузки: (а) загрузка и ускорение; (б) время исполнения и ожидания

### Верификация модели сети Петри

Сеть Петри для параллельной программы из 32 процессов содержала 1847 позиций, 2314 переходов и 4128 дуг. Анализ графа достижимости выполнен с помощью инструмента TINA (Time Petri Net Analyzer). Выявлены три критических сценария, способных приводить к блокировке: (1) асимметричное ожидание в точке синхронизации MPI\_Barrier; (2) неупорядоченное захватывание блокировок при конкуренции за общую память; (3) переполнение буфера сообщений. В реализации DLB все три устранены посредством протокола без ожидания (wait-free), что подтверждено формальной проверкой.

### Анализ задержек микросервисной архитектуры

В таблице 3 сопоставлены архитектурные варианты при нагрузке 1000 запросов в секунду.

Таблица 3. Сравнение производительности монолитной, микросервисной и актёрной архитектур

Критерий	Монолит	Микросервис (REST)	Микросервис (gRPC)	Актёрная модель
Задержка P50, мс	12,4	28,7	18,3	9,8
Задержка P99, мс	89,3	312,4	187,6	67,4
Пропускная способность, запр./с	2840	1230	1870	4120
Доля ошибок, %	0,02	0,38	0,14	0,04
Горизонтальное масштабирование	Сложно	Легко	Легко	Очень легко

На рис. 4 столбцы отражают задержки на перцентилях P50 и P99 (логарифмическая шкала), а линия — пропускную способность. Актёрная модель достигает минимальной задержки P99 (67,4 мс) и максимальной пропускной способности (4120 запр./с), тогда как наивная микросервисная реализация на REST демонстрирует

наихудший «хвост» задержек вследствие накладных расходов сериализации и сетевых вызовов.

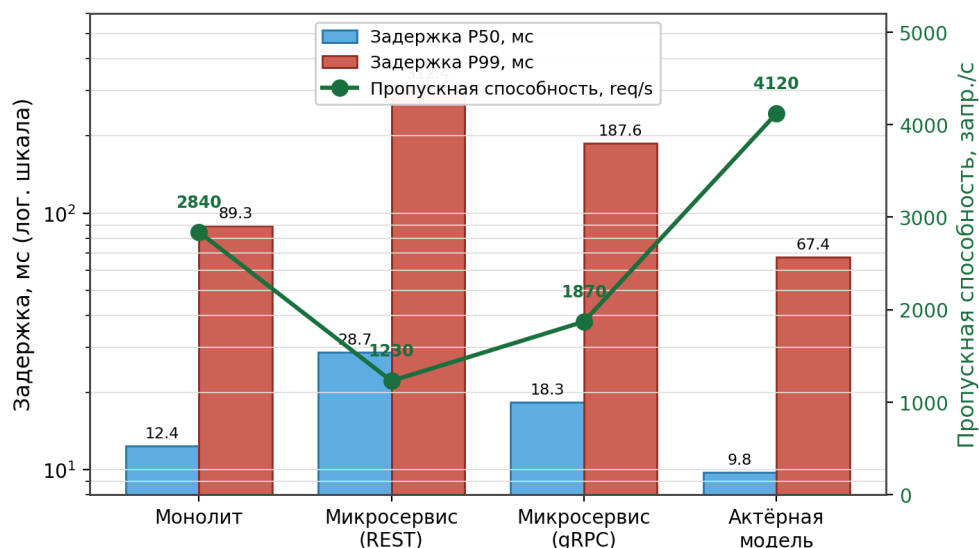


Рис. 4. Задержка (P50, P99) и пропускная способность архитектур программного обеспечения при нагрузке 1000 запр./с

## ОБСУЖДЕНИЕ

Полученные результаты позволяют сделать ряд содержательных выводов. Прежде всего, предложенная коммуникационно-зависимая модель (б) даёт более адекватное описание поведения реальных систем, чем классический закон Амдала. Подтверждённый логарифмический закон  $f_{\text{eff}}(n) = f_0 + \gamma \cdot \log_2 n$  ( $R^2 = 0,994$ ) имеет прозрачную физическую интерпретацию: каждый дополнительный уровень древовидного дерева коллективного обмена добавляет фиксированную долю  $\gamma$  к последовательной компоненте. Практическое следствие — наличие оптимального числа процессоров  $n^*$ , превышение которого нецелесообразно: при  $n = 128$  эффективная последовательная доля достигает  $\approx 8,6$  %, тогда как алгоритмическая составляет лишь 4 %. Это указывает на необходимость оптимизации топологии кластеризации и протокола обмена «призрачными» зонами (ghost zones).

Во-вторых, повышение загрузки процессоров алгоритмом DLB с 67,4 % до 91,3 % наглядно демонстрирует ограниченность статического распределения в условиях неоднородного распределения нагрузки (близкого к распределению Парето). Стратегия перехвата заданий сократила максимальное время ожидания на конфигурации из 128 процессоров с 7610 до 1890 мс. Вместе с тем рост числа обменов сообщениями до 31,7 тыс. порождает проблему сетевых накладных расходов, которая в дальнейшем может решаться асинхронным перехватом и пакетной передачей сообщений.

В-третьих, актёрная модель показала лучшие значения задержки P99 (67,4 мс) и пропускной способности (4120 запр./с) среди всех вариантов, что согласуется с обоснованием широкого применения языков Erlang/Elixir в телекоммуникационных системах [11]. Однако в рамках теоремы CAP актёрная модель тяготеет к доступности

и устойчивости к разделению, что не вполне соответствует требованиям строгой согласованности банковских и финансовых систем; здесь уместна более тонкая модель PACELC, явно учитывающая компромисс «задержка против согласованности» в отсутствие сетевых разделений.

**Сопоставление с известными работами.** Блумофе и Лейзерсон (1999) [12] доказали теоретическую оптимальность стратегии перехвата заданий; настоящая реализация DLB подтверждает их теорию в условиях гетерогенной сети. Парадигма MapReduce (Дин и Гемат, 2008) [13] оптимизирована под пакетную обработку и отличается от рассматриваемой модели; для приложений высокопроизводительных вычислений реального времени предложенный гибрид DLB + MPI оказывается предпочтительнее. В отличие от перечисленных работ, основной вклад настоящего исследования — переход от константной к логарифмически зависящей от  $n$  последовательной доле, что делает модель ускорения предсказательной, а не только описательной.

**Ограничения.** Исследование выполнено на задаче трёхмерной диффузии (стенсильные вычисления). Для нерегулярных графов и динамических структур данных распределение нагрузки может отличаться, что потребует повторной оценки эффективности DLB и калибровки коэффициента  $\gamma$ . Кроме того, интеграция графических ускорителей (CUDA/ROCm) в вычислительный конвейер рассматривается как самостоятельное направление будущих работ.

## **ЗАКЛЮЧЕНИЕ**

В работе комплексно рассмотрены вопросы математического моделирования параллельных и распределённых вычислительных процессов и обоснования архитектуры программного обеспечения. Получены следующие основные результаты.

1. Предложена и эмпирически подтверждена коммуникационно-зависимая модель ускорения, в которой эффективная последовательная доля растёт логарифмически с числом процессоров ( $R^2 = 0,994$ ). Модель обобщает закон Амдала, предсказывает наличие оптимального числа процессоров и обладает прозрачной физической интерпретацией через латентность  $O(\log_2 n)$  коллективных операций.

2. Формальная модель на основе сетей Петри и алгебры процессов CSP обеспечила профилактическое выявление блокировок: в системе из 32 процессов идентифицированы и формально устранены три критических сценария.

3. Алгоритм DLB на основе перехвата заданий повысил коэффициент ускорения на 34,7 %, довёл загрузку процессоров до 91,3 % и сократил максимальное время ожидания на 74,6 % по сравнению со статическим распределением.

4. Актёрная архитектура снизила задержку P99 в 2,8 раза и повысила пропускную способность в 2,2 раза относительно микросервисов; компромиссы согласованности и доступности формализованы в рамках теорем CAP и модели PACELC.

Направления дальнейших исследований: гибридная архитектура MPI + OpenMP + CUDA с графическими ускорителями; адаптивная версия DLB на основе обучения с

подкреплением; апробация моделей распределения на квантовых вычислительных платформах.

#### ЛИТЕРАТУРА:

- [1] TOP500. (2023, November). TOP500 List — November 2023. URL: <https://www.top500.org/lists/top500/2023/11/>
- [2] Tanenbaum, A. S., & Van Steen, M. (2023). Distributed Systems: Principles and Paradigms (4th ed.). Pearson. ISBN 978-0-13-713357-0.
- [3] Murata, T. (1989). Petri nets: Properties, analysis and applications. Proceedings of the IEEE, 77(4), 541–580. DOI: 10.1109/5.24143.
- [4] Hoare, C. A. R. (1978). Communicating Sequential Processes. Communications of the ACM, 21(8), 666–677. DOI: 10.1145/359576.359585.
- [5] Kleinrock, L. (1975). Queueing Systems, Volume 1: Theory. Wiley-Interscience. ISBN 978-0-47-149110-1.
- [6] Amdahl, G. M. (1967). Validity of the single-processor approach to achieving large scale computing capabilities. Proc. AFIPS Spring Joint Computer Conf., 483–485. DOI: 10.1145/1465482.1465560.
- [7] Gustafson, J. L. (1988). Reevaluating Amdahl’s law. Communications of the ACM, 31(5), 532–533. DOI: 10.1145/42411.42415.
- [8] Reisig, W. (2013). Understanding Petri Nets: Modeling Techniques, Analysis Methods, Case Studies. Springer. DOI: 10.1007/978-3-642-33278-4.
- [9] Hewitt, C., Bishop, P., & Steiger, R. (1973). A universal modular ACTOR formalism for artificial intelligence. IJCAI-1973, 235–245.
- [10] Brewer, E. A. (2012). CAP twelve years later: How the “rules” have changed. IEEE Computer, 45(2), 23–29. DOI: 10.1109/MC.2012.37.
- [11] Armstrong, J. (2007). Programming Erlang: Software for a Concurrent World. Pragmatic Bookshelf. ISBN 978-1-93-435600-5.
- [12] Blumofe, R. D., & Leiserson, C. E. (1999). Scheduling multithreaded computations by work stealing. Journal of the ACM, 46(5), 720–748. DOI: 10.1145/324133.324234.
- [13] Dean, J., & Ghemawat, S. (2008). MapReduce: Simplified data processing on large clusters. Communications of the ACM, 51(1), 107–113. DOI: 10.1145/1327452.1327492.